

**Wenige grundlegende Prozesse bestimmen
Morphologie - Geologie - geochemische
Zusammensetzung planetarer Oberflächen:**

Endogen

Magmatismus Intrusionen - Vulkanismus

Gezeitenreibung

z.B. Jupitermond Io, Saturnmond Enceladus

**Wenige grundlegende Prozesse bestimmen
Morphologie - Geologie - geochemische
Zusammensetzung planetarer Oberflächen:**

Endogen

Magmatismus Intrusionen - Vulkanismus

exotisch: Gezeitenreibung

Tektonische Aktivitäten

Verwerfungen/Bruchtektonik

Plattentektonik mit Gebirgsbildung +
Gesteinsmetamorphose

„crustal overturn“ (Venus)

Wenige grundlegende Prozesse bestimmen
Morphologie - Geologie - geochemische
Zusammensetzung planetarer Oberflächen:

Exogen

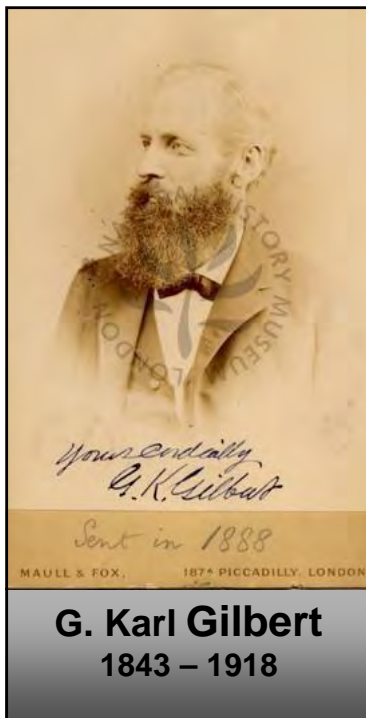
Verwitterung

aquatisch - äolisch - glazial

Erosion

Massentransport und Sedimentation

Impaktprozesse



In 1891 Gilbert, chief geologist for the U.S. Geol. Survey, decided to test whether the crater in Arizona was created by the impact of a meteorite or the result of volcanic activity (explosion of superheated steam).



**Alfred Wegener
(1880-1930)**

Die
Entstehung der Mondkrater

Von

Dr. Alfred Wegener
Privatdozent der Geophysik an der Universität Hamburg

Mit 9 Abbildungen im Text und auf 3 Tafeln



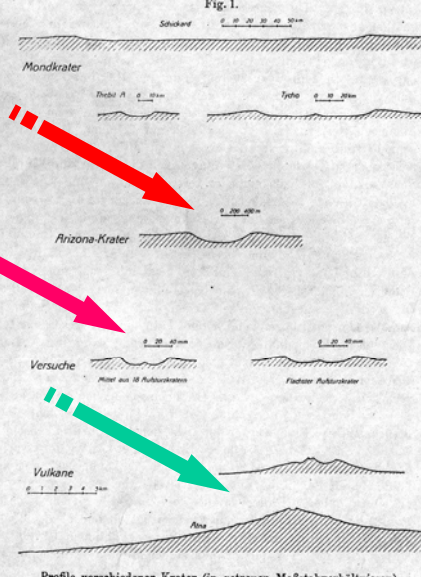
Braunschweig
Druck und Verlag von Friedr. Vieweg & Sohn
1921

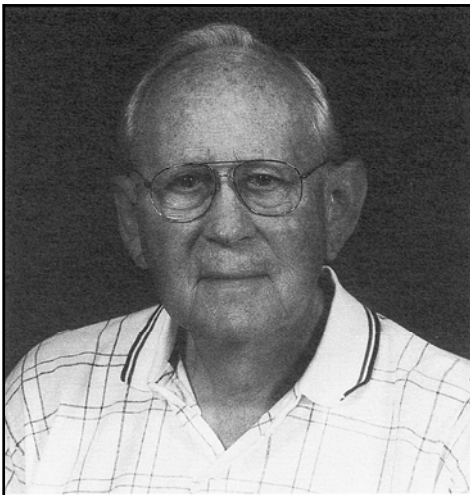
UBT017052511222



die lehrreiche Zusammenstellung bei J. Schmidt (Der Mond, S. 103, Leipzig 1856) oder bei v. Wolff (Der Vulkanismus I, S. 450, Stuttgart 1914). Z. B. hat der Ätna nach Schmidt eine Seehöhe von 3274 m, eine Krateröffnung von 485 m und eine Kratertiefe von 105 m. Dies ist die weitaus überwiegende Form. Daneben

Fig. 1.

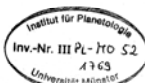




Ralph Belknap Baldwin
(1912 -2010)

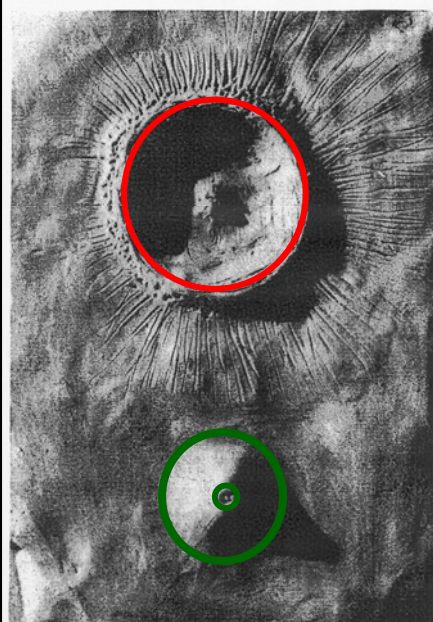
The FACE of the MOON

BY RALPH B. BALDWIN



THE UNIVERSITY OF CHICAGO PRESS
1949

PLATE VII

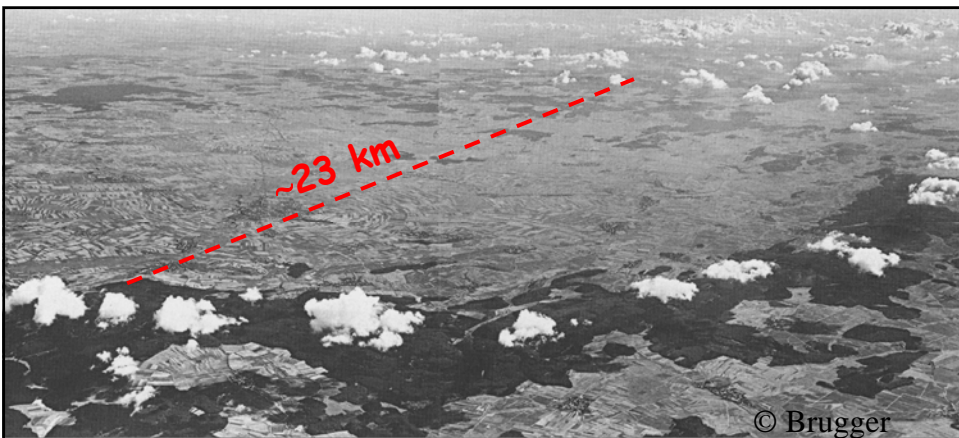


PHOTOGRAPH OF A SCALE MODEL OF A TYPICAL LUNAR CRATER
AND A TYPICAL TERRESTRIAL VOLCANIC CONE

The Face of the Moon appeared in **1949**. With nine prominent exceptions, the book was ignored for a few years... I could not understand this. The observations were clear and definitive. The Moon's craters and many terrestrial examples had to be of impact origin. Yet many otherwise excellent scientists read or listened to the evidence and remained of the same opinion, that the Moon's craters were some form of volcanism. It didn't make sense.....

Eugene Shoemaker

- Krater der Atomwaffentests Jangle U - Teapot Ess (1.2 kton)
- Meteorkrater
- 1961 gemeinsam mit E.C.T. Chao: Nachweis von Coesit und Stishovit im Ries
- Astrogeology Branch - USGS Flagstaff
- Vorbereitung der Apollo-Missionen
- Kraterjagd in Australien
- Erforschung des Asteroidengürtels
- → Komet Shoemaker-Levi 9



1961

Nördlinger Ries

= Komplexer Impaktkrater mit Ringwall

Alter: 15 Mio Jahre

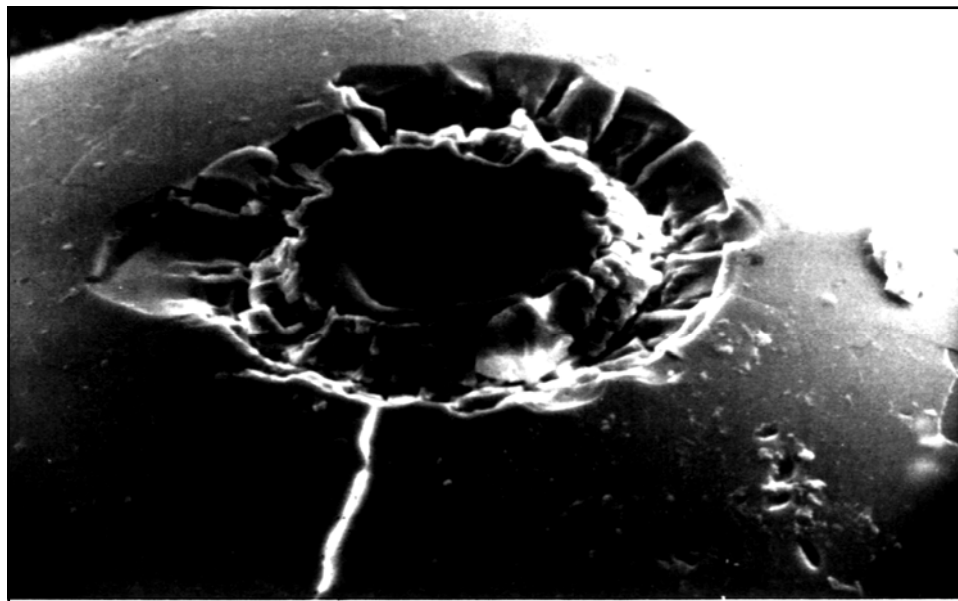
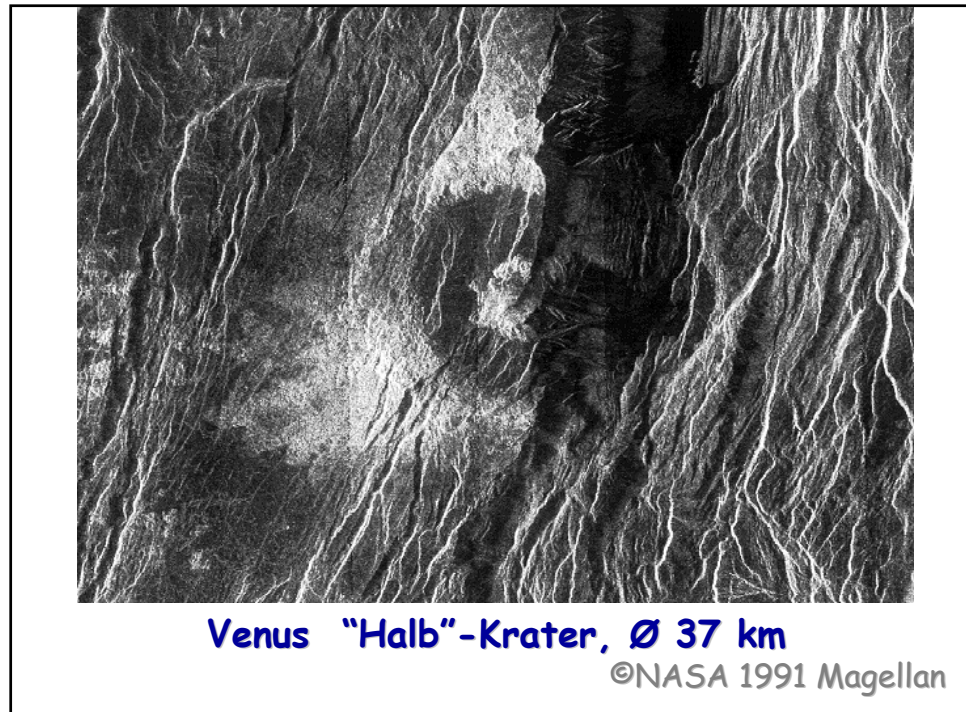
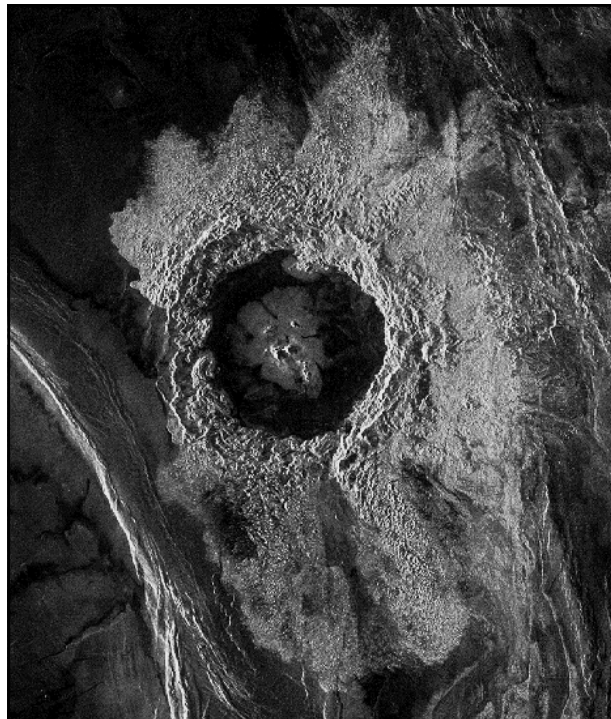


Fig. 2.1 This scanning electron microprobe photograph shows a microcrater 30 μm in diameter on an Apollo 11 glass sphere. The central glass-lined pit is surrounded by an extensive spall zone. NASA S70-18264 (Courtesy D. McKay)

Microcrater – Apollo 11 glass sphere



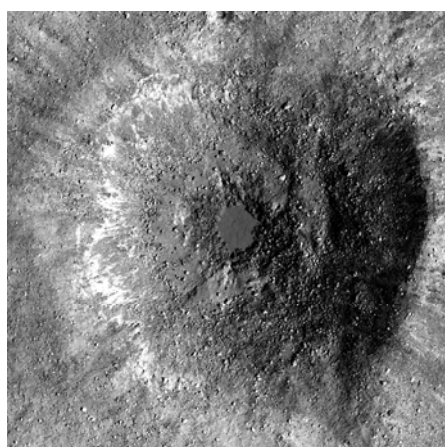


Krater Dickinson
Ø 185 km

Venus

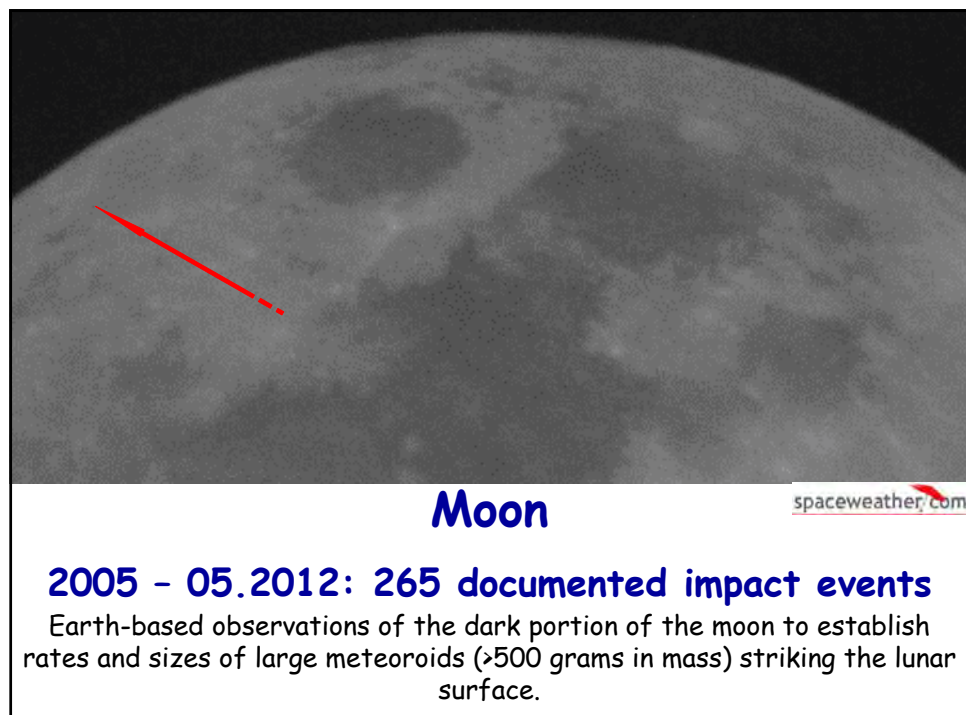
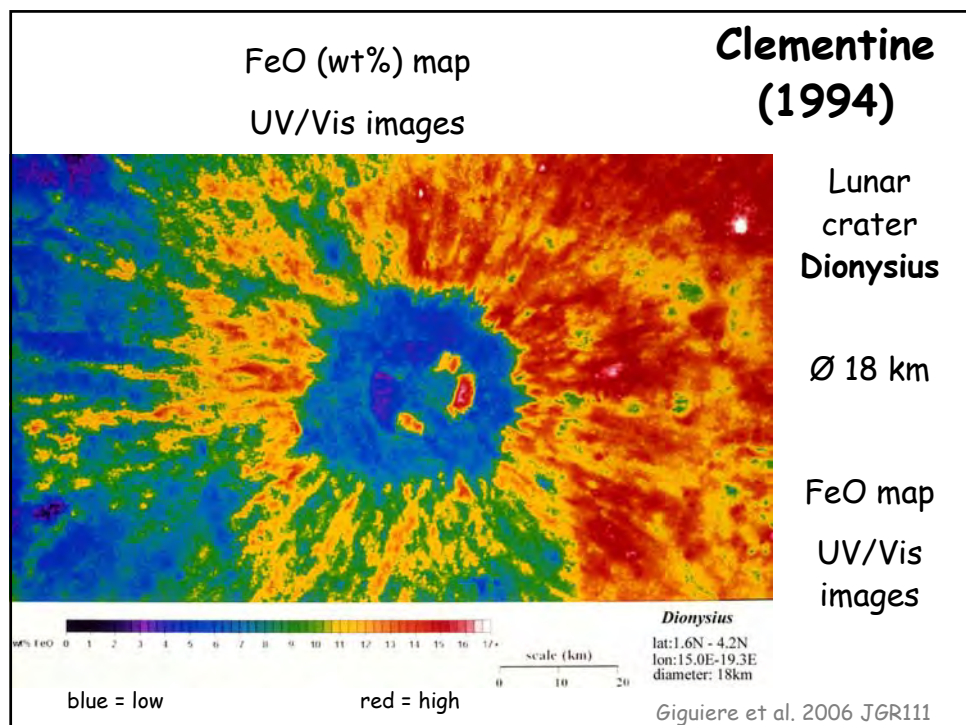
©NASA 1992
Magellan

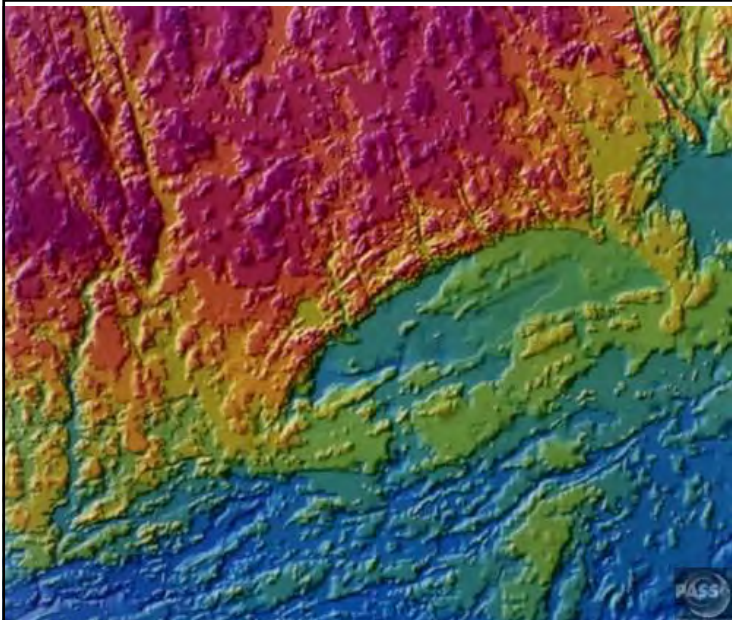
http://wms.lroc.asu.edu/lroc Browse/view/wac_nearside
http://wms.lroc.asu.edu/lroc Browse/view/np_mos



Moon

Frozen impact melt pool on the floor of a young & unnamed crater (90 x 70 m). LROC NAC M111972680LE, < 750 m>
© NASA/GSFC/Arizona State University





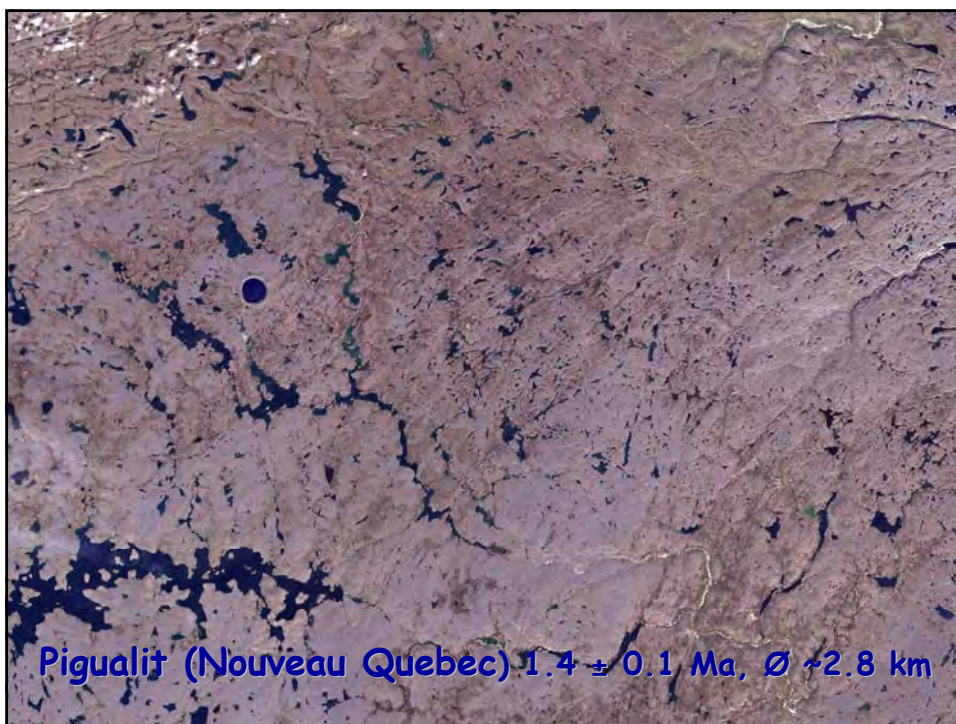
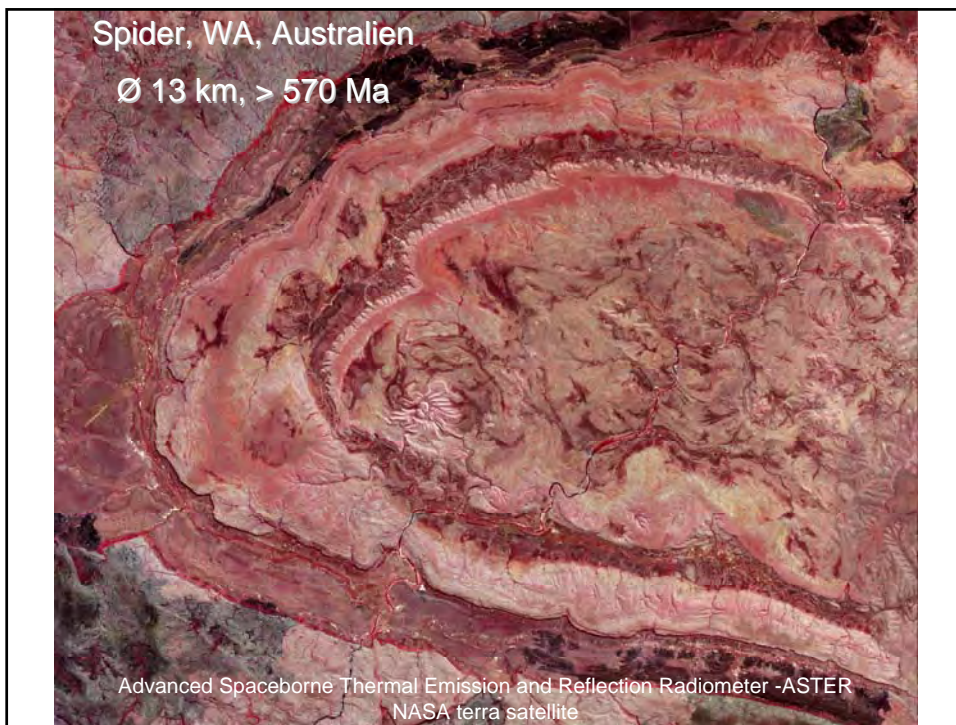
Sudbury
Multiring-
Becken

Ontario
Kanada

DEM



Clearwater Lakes Quebec Canada ©Reiff
Ø 32 - 17 km





Pigault (Nouveau Quebec) 1.4 ± 0.1 Ma $\varnothing \sim 2.8$ km
maximum depth of the lake ~ 267 m



Tunguska, Sibirien; 30.6.1908

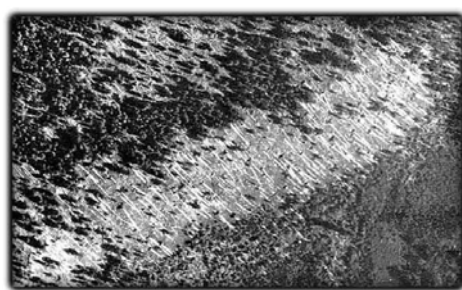
Explosion in 8 km Höhe mit der Energie von

~ 60 Hiroshima-Atombomben

Verwüstung von 2150 km^2 Taiga, 80 Mio. Bäume geknickt



© William K. Hartmann



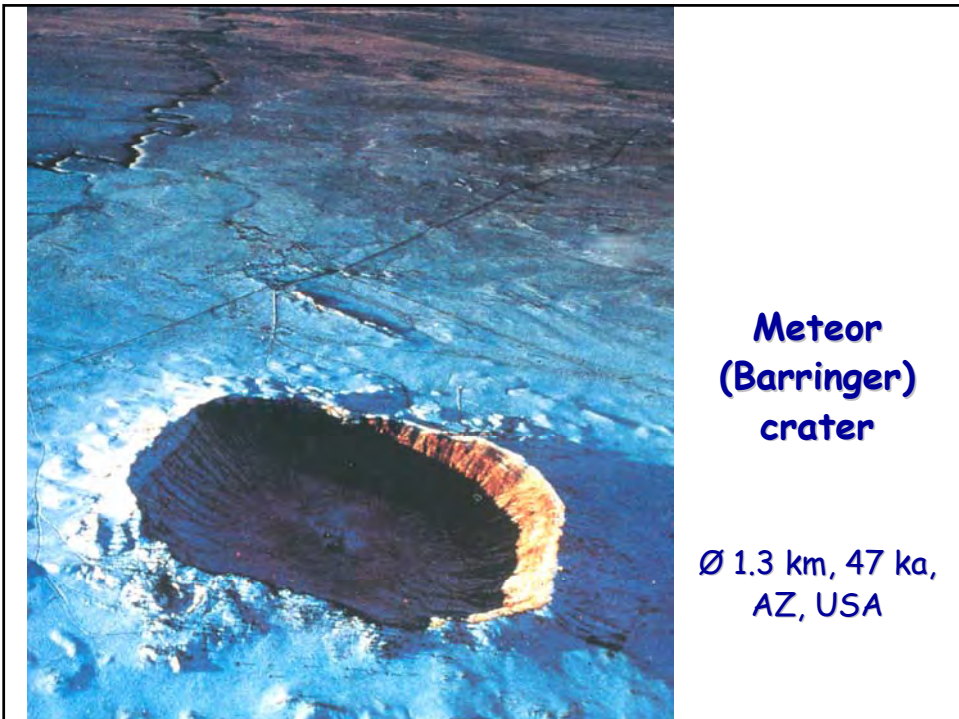
Projektil

Gesamtenergie = 4.8×10^{15} Joules

$V = 15 \text{ km s}^{-1}$

$\frac{1}{2}$ der Energie wird an die Atmosphäre abgegeben
(Abbremsung, Fragmentierung ...)

$\varnothing = 30 \text{ m}$



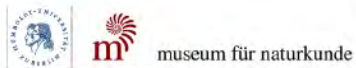
Meteor
(Barringer)
crater

\varnothing 1.3 km, 47 ka,
AZ, USA



Sedan crater $\varnothing \sim 380$ m (104 kt TNT)
Nevada test site, USA

2007



The Carancas Event on September 15, 2007: Meteorite Fall, Impact conditions, and crater characteristics



T. Kenkmann¹
N. A. Artemieva²
M. H. Poelchau¹
K. Wünnemann¹

¹Museum für Naturkunde – Mineralogie,
Humboldt-Universität Berlin, Germany

thomas.kenkmann@museum.hu-berlin.de

²Russian Academy of Science Moscow, Russia

We acknowledge the logistical help of H. Nunez del Prado (INGEMMET)

2007

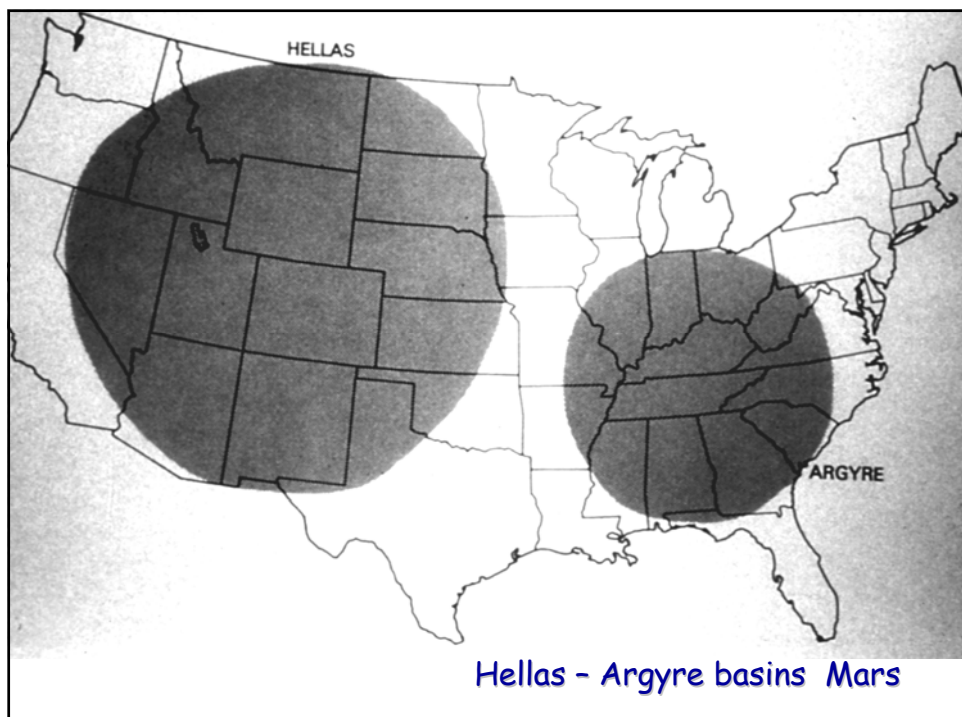
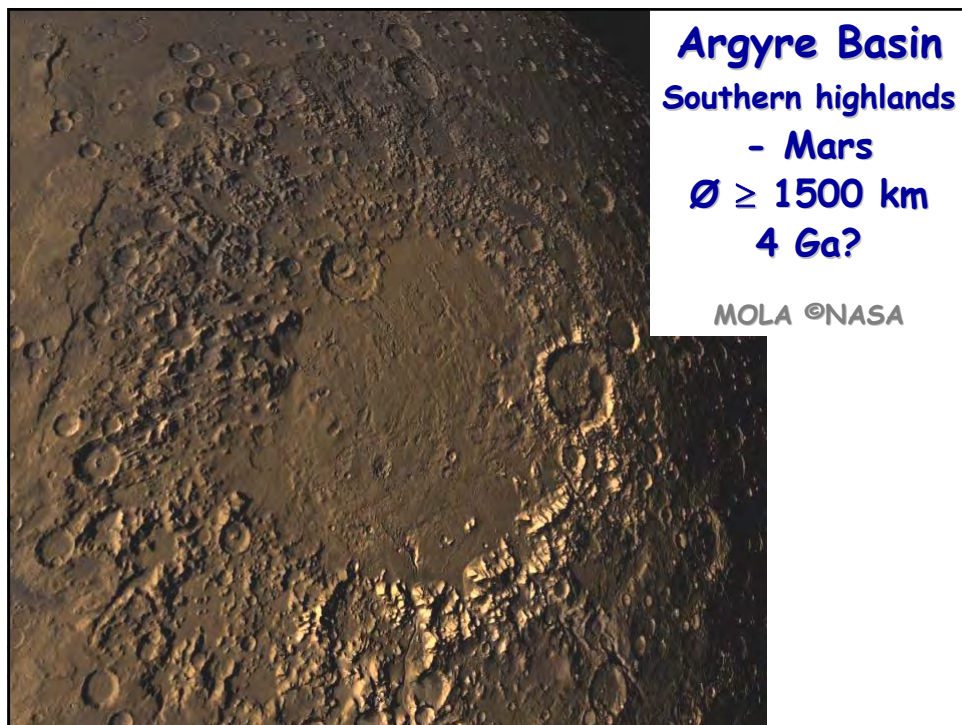


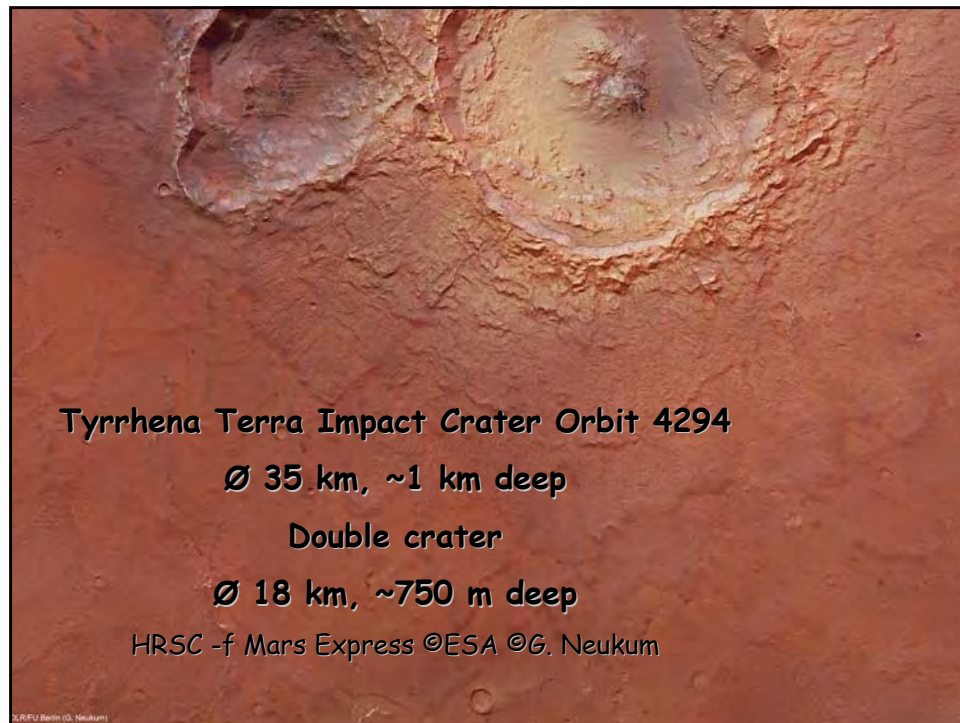
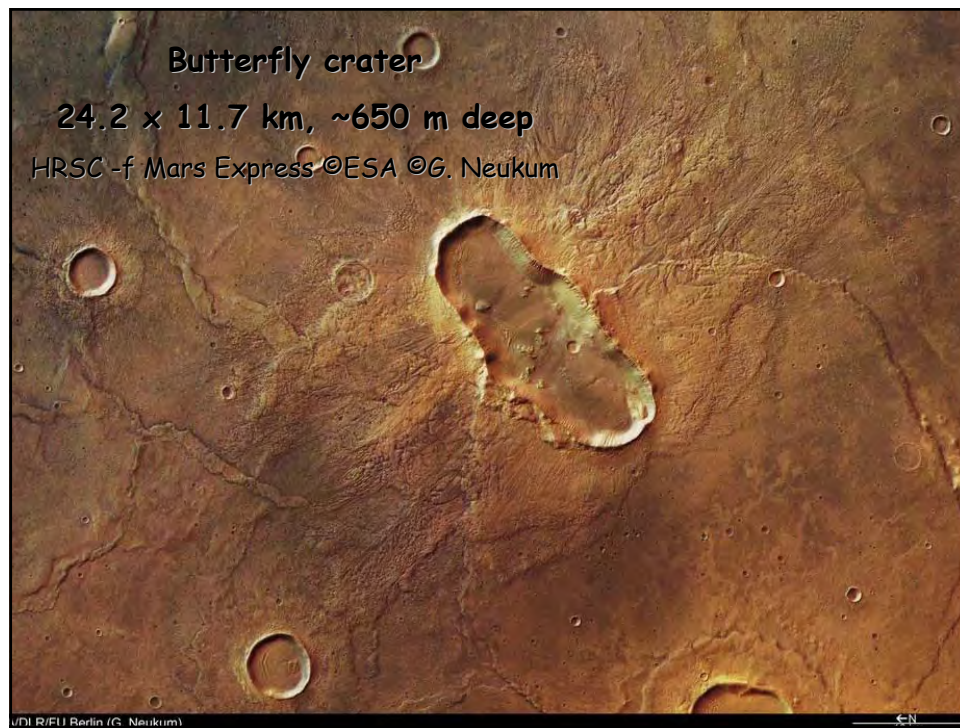
(i) Atmospheric modeling, (ii) Crater modeling, (iii) Field analysis

- Atmospheric entry at shallow angle and low cosmic velocity
- Steep impact at 70-75° with terminal velocity (200-300 ms⁻¹)
- Impact of a chondritic body with 0.7-1m Ø and 0.7-1.4 tons mass
- No shock features, minor fracturing (50-100 MPa)

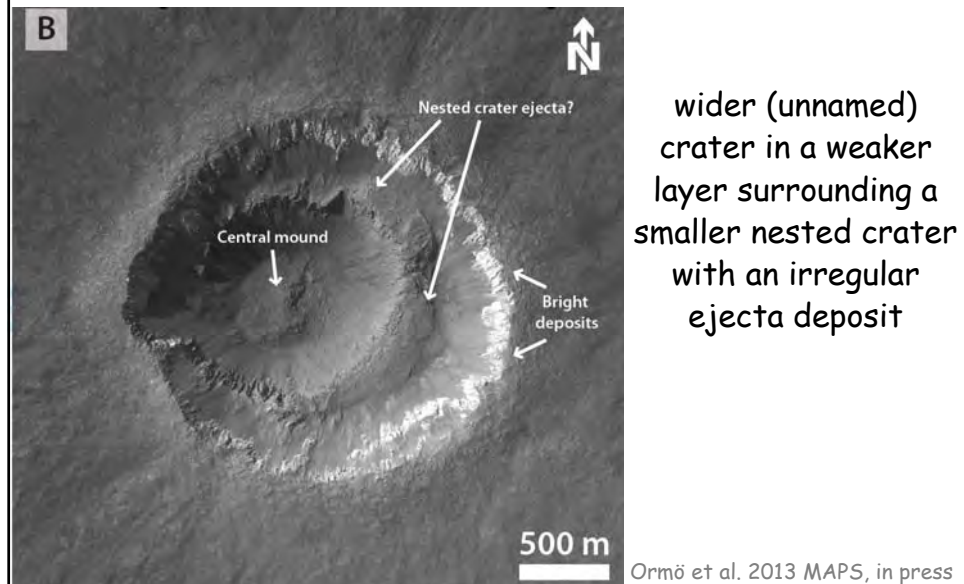
- Crater size D at crest: 14.2 m Ø
- Crater volume V: 160 m³
- Crater efficiency π_v : ~320
- Kinetic energy E_{kin}: 6.3×10^7 J (15 kg TNT equivalent)

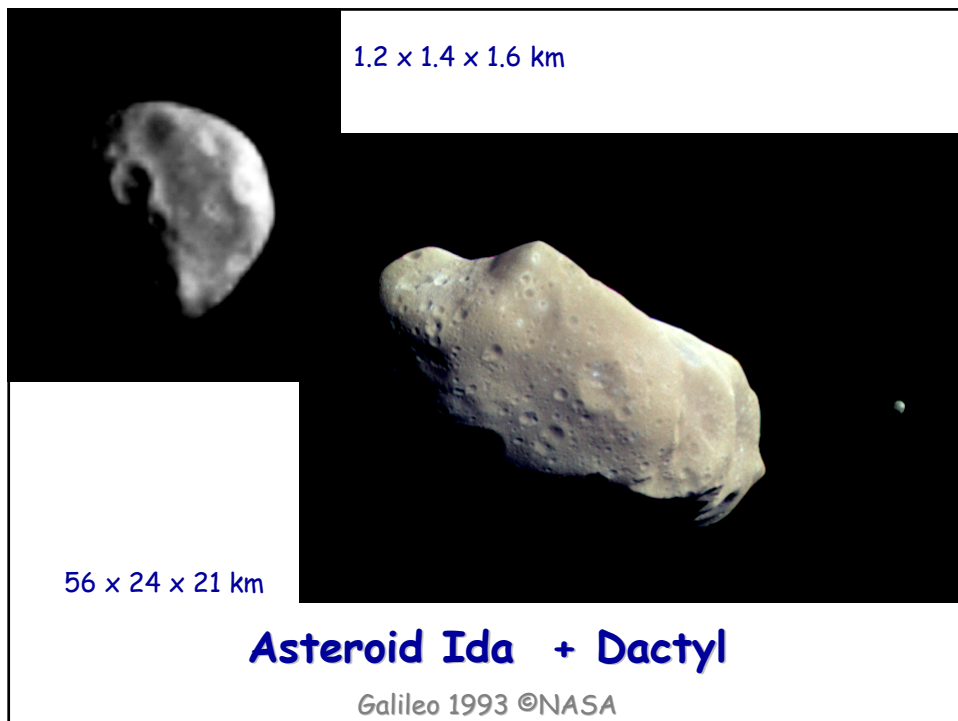
Carancas is the youngest and smallest impact crater on Earth!
Impact risk has to be re-evaluated!





Mars Reconnaissance Orbiter (MRO) Context Camera (CTX)





W. M. KECK TELESCOPE CAPTURES THE IMPACT OF
COMET SHOEMAKER-LEVY 9 FRAGMENT-R ON JUPITER

5:30 UT, July 21, 1994
MAUNA KEA, HAWAII

Astronomers:

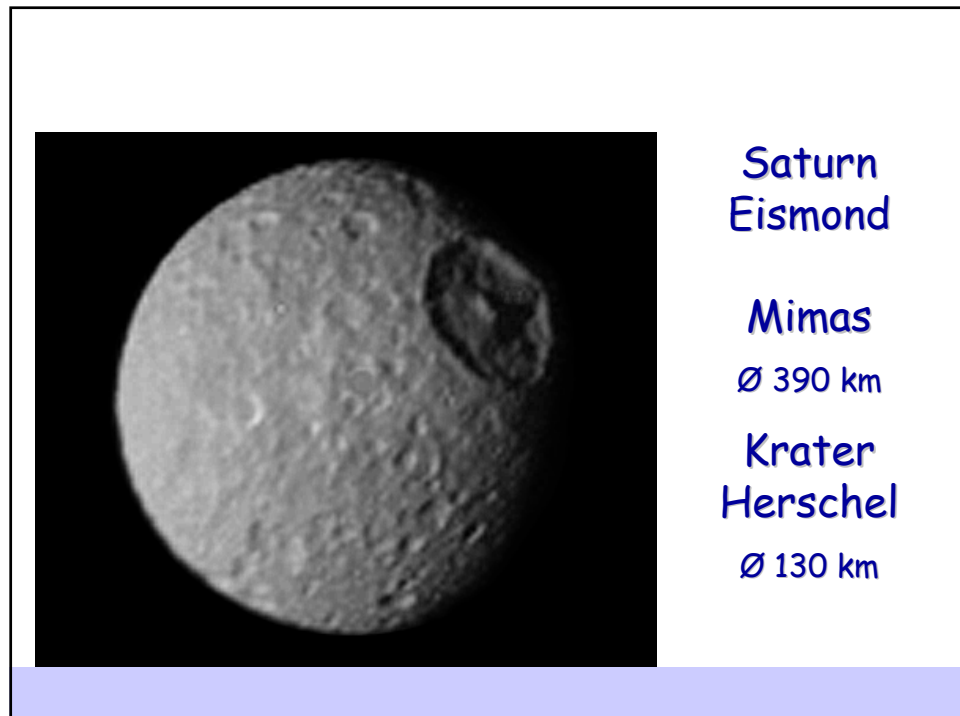
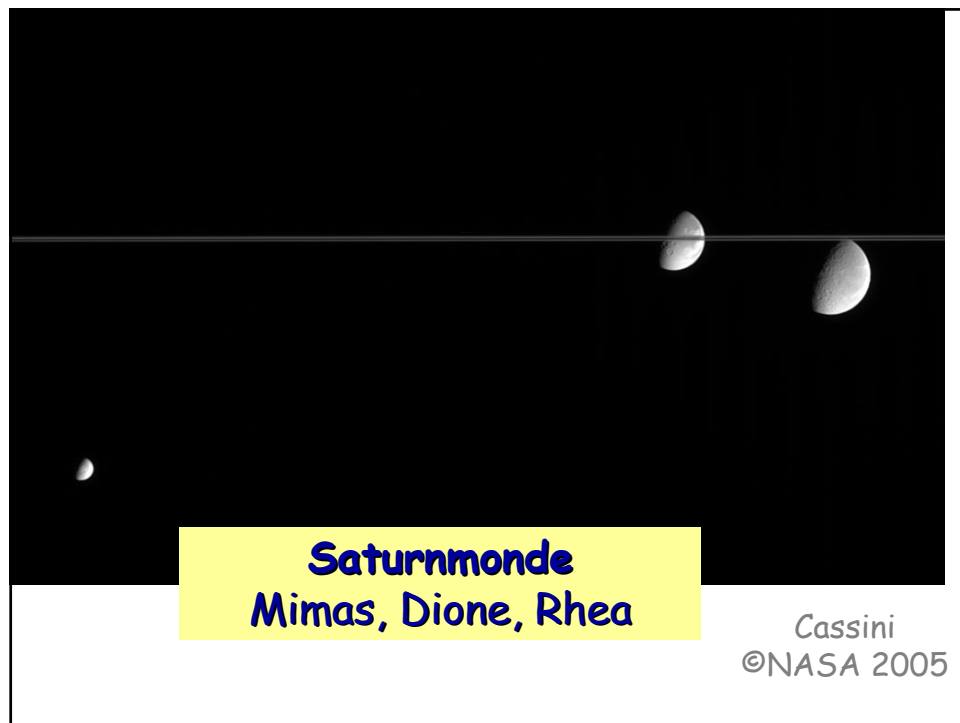
Imke de Pater, James R. Graham, Garrett Jernigan
University of California, Berkeley

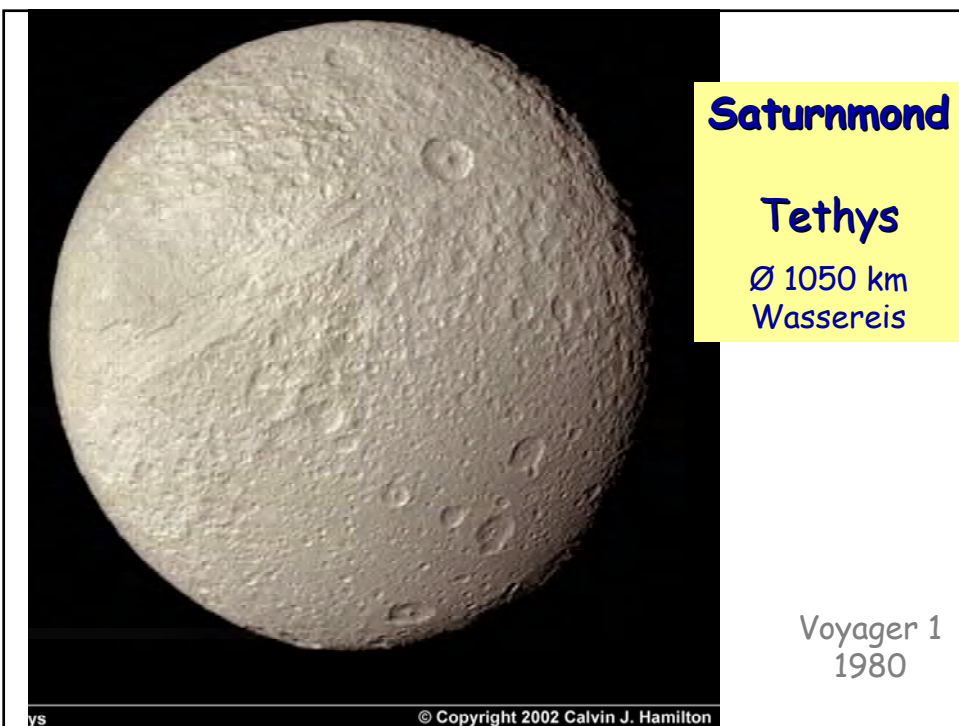
with support from
Wendy Harrison, Joel Aycock, David Vezie
and the staff of the Keck Observatory

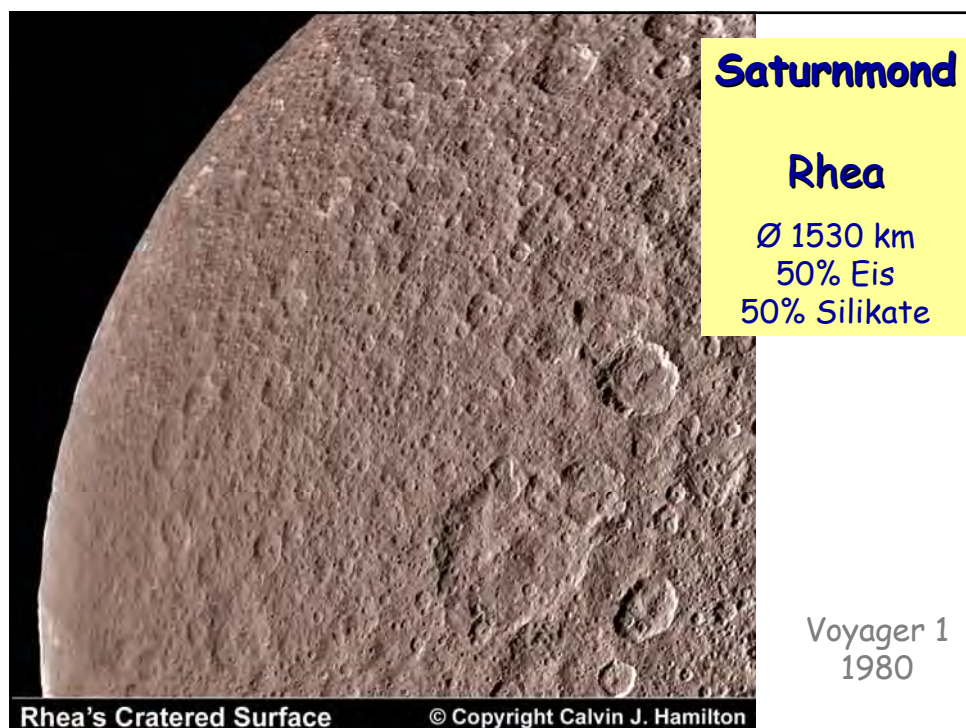
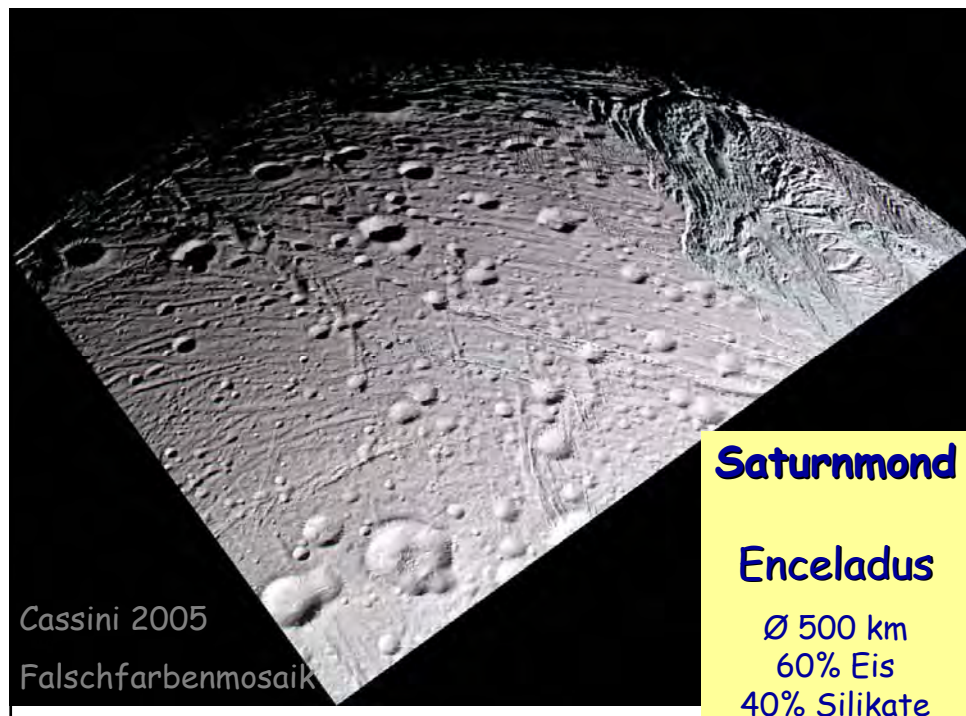
Einschlag des Kometen Shoemaker-Levy 9
Fragment R, 21.7.94, 5:30
der Feuerball leuchtete ~8 Minuten

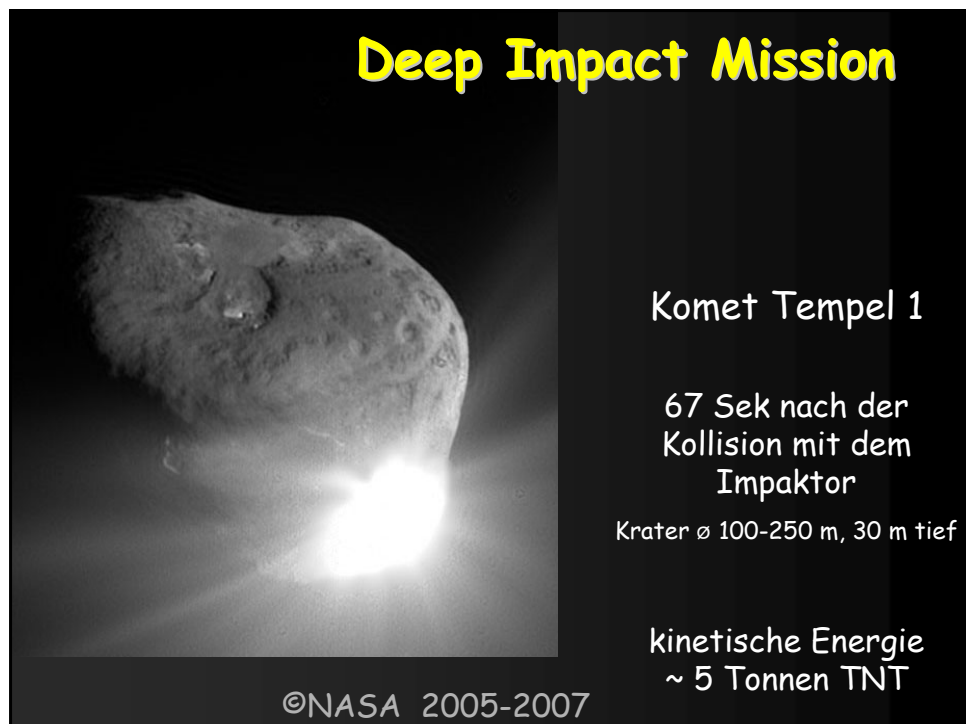
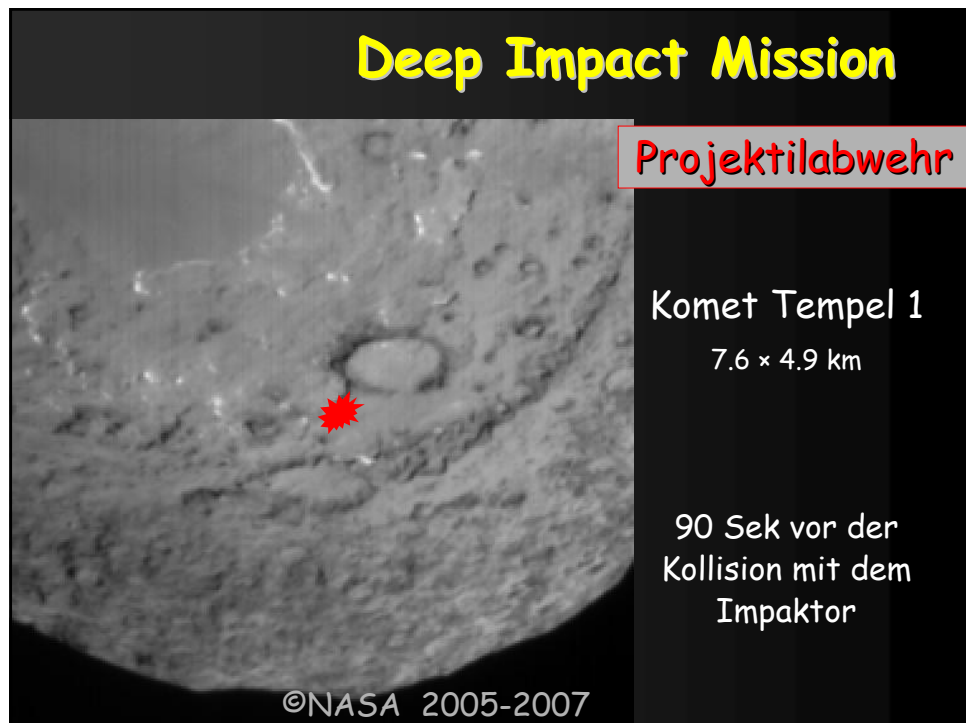
Shoemaker-Levi 9 Fragment G
Hurrikan Linda 9.9.1997







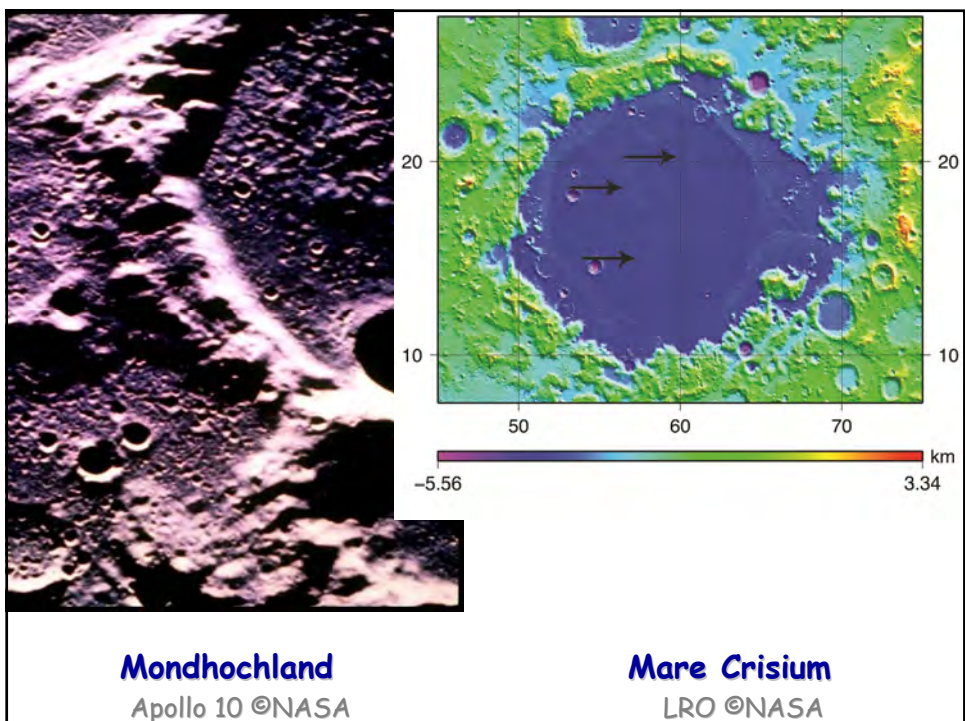
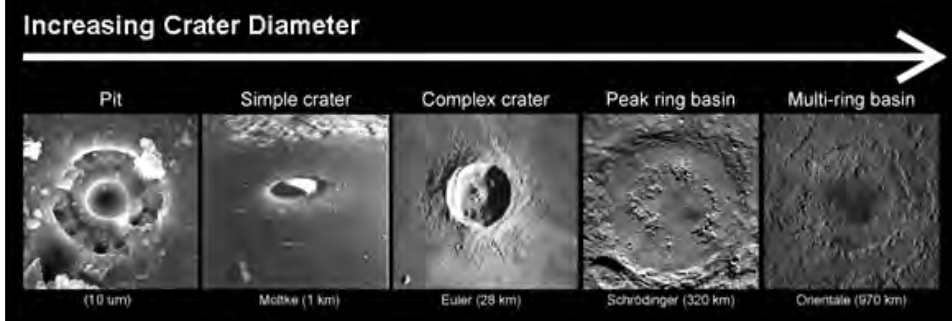




Planetare Krusten - Impaktkrater

Fernerkundungsdaten & Weltraummissionen

- Kratergröße von $x \mu\text{m}$ (z.B. Spaceshuttlefenster; Aerogel/Al-Folie Stardust-Mission) bis $>2000 \text{ km}$ (z.B., South Pole-Aitkins-Becken - Erdmond; Valhalla - Callisto)
⇒ Größensequenz



Planetare Krusten - Impaktkrater

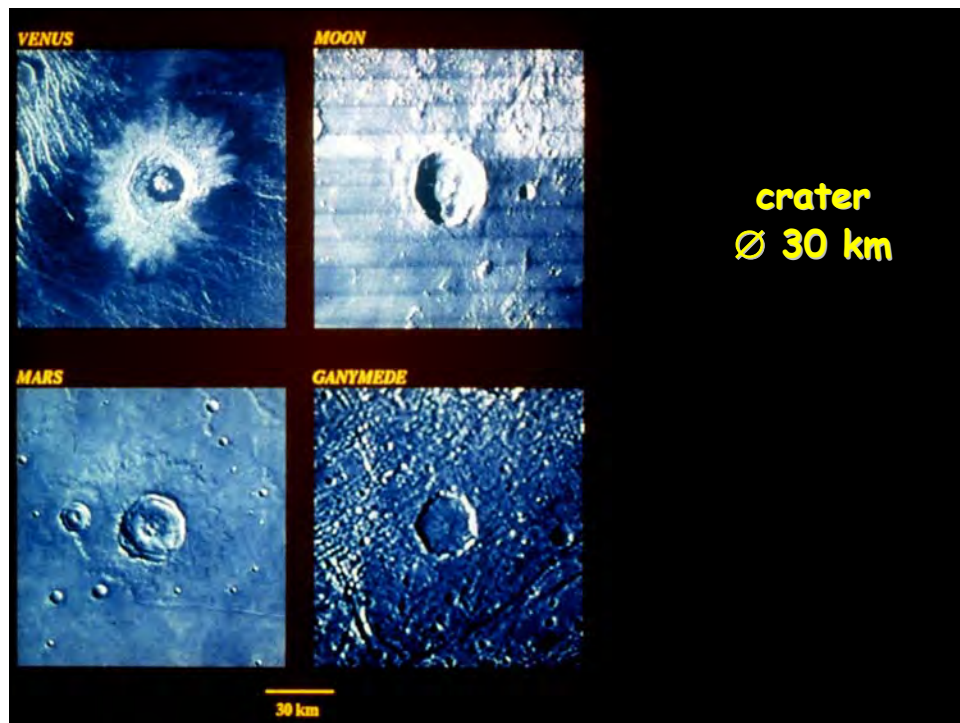
Fernerkundungsdaten & Weltraummissionen

- Kratergröße von $x \mu\text{m}$ bis $>2000 \text{ km}$
⇒ **Größensequenz**
- Superposition (Überlagerung) von Impaktkratern auf planetaren Oberflächen
⇒ **Altersabfolge**
- unterschiedliche Kraterdichte (Häufigkeit/Flächeneinheit) auf planetaren Oberflächen
⇒ **Zeitfaktor**

Planetare Krusten - Impaktkrater

Fernerkundungsdaten & Weltraummissionen

- Abnahme von Impakthäufigkeit wie Projektilgröße seit der Bildung des Sonnensystems
⇒ **Änderung der „Kollisionsrate“ (Impakthäufigkeit pro Zeiteinheit)**
- nicht lineare Änderung von extrem hohen zu den niedrigen heutigen Werten
- Änderung der Kollisionsrate mit der Zeit
⇒ **Impaktkraterstatistik liefert eine relative, eichbare Zeitskala für die geologische Entwicklung planetarer Körper.**
⇒ **crater retention ages**



Planetare Krusten - Impaktkrater

Fernerkundungsdaten & Weltraummissionen

- Kratergröße
⇒ **Größensequenz**
- Superposition
⇒ **Altersabfolge**
- Kraterdichte
⇒ **Zeitfaktor**
- Kraterform
⇒ **Größe & Einfallswinkel des Projektils,
(alte Bruchmuster)**
- Variation der Kraterform und/oder der Auswurfsdecke
⇒ **Materialbeschaffenheit des Targets, Lagenbau**

**Crater morphology
simple bowl shaped**

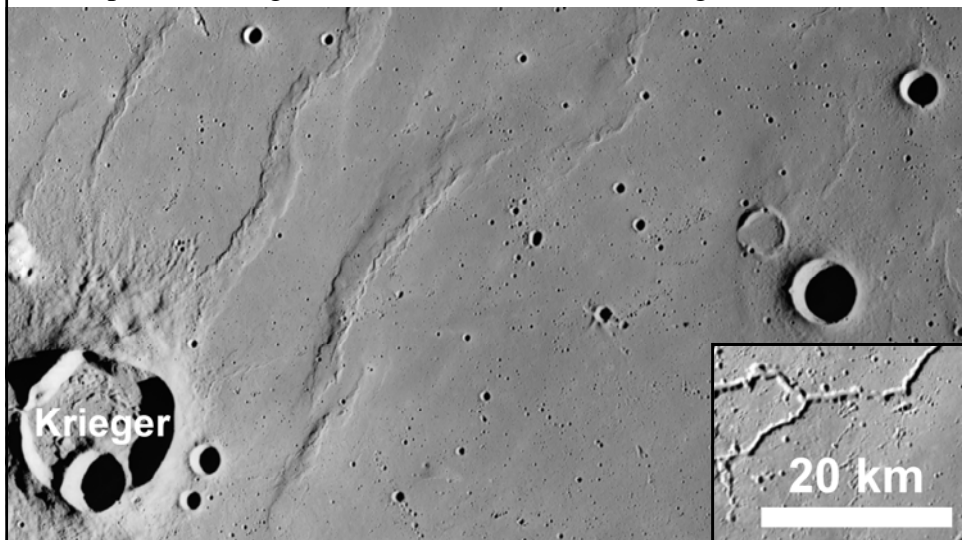
Roter Kamm crater, Namibia
 $\varnothing 2.5 \text{ km}$ 3.7 Ma



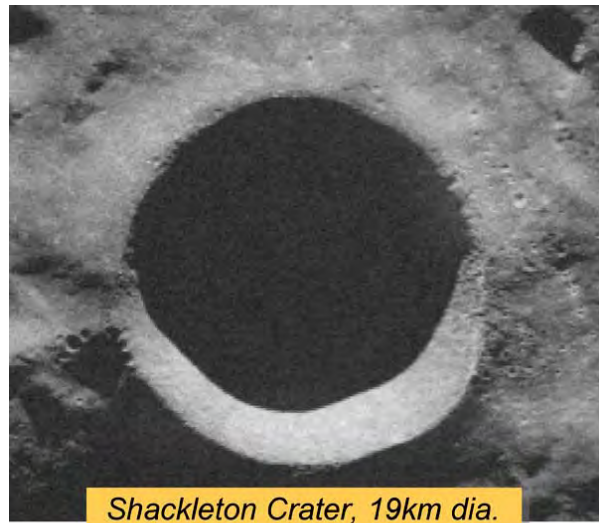
Radar-C/X-Band Synthetic Aperture Radar (SIR-C/X-SAR) instrument onboard space shuttle Endeavour on April 14, 1994

**Crater morphology
simple bowl shaped**

Apollo 15 image AS15-M-2081 Rimae Prinz region © NASA



**Crater morphology
simple bowl shaped**

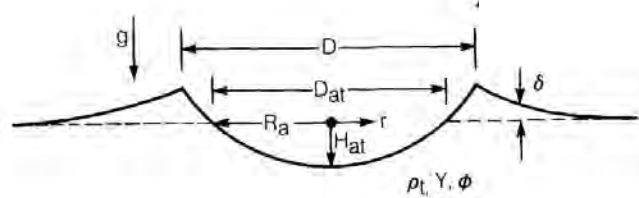


*Shackleton Crater, 19km dia.
(lunar South Pole)
2005 Arecibo radar image*

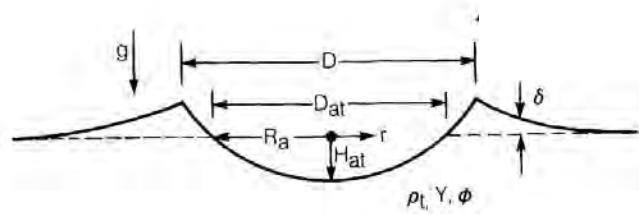
Crater morphology - simple crater



Crater morphology - simple crater



Crater morphology - simple crater



D = Durchmesser am Kraterrand, rim-to-rim diameter

D_{at} = scheinbarer D , apparent D (**Erosion!!**)

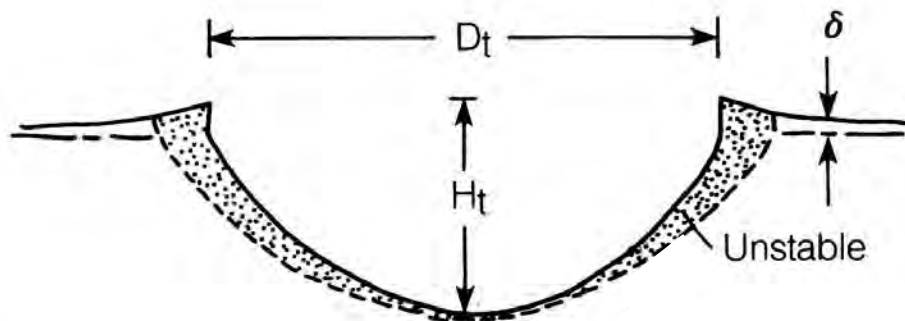
R_a = $D_{at}/2$ (r = Distanz zum Kraterzentrum)

H_{at} = Kratertiefe, apparent depth (**Brekzienlinse!!**)

δ = Mächtigkeit der Auswurfsdecke, thickness of ejecta blanket

g = „Erd“beschleunigung, acceleration of gravity

morphology - simple bowl-shaped crater

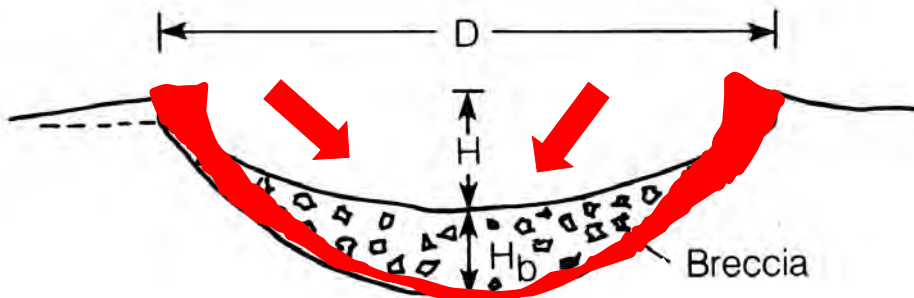


D_t = Durchmesser, diameter

H_t = Tiefe der vorübergehenden Kraterhohlform, transient crater

δ = Mächtigkeit des Auswurfes, ejecta thickness

morphology - simple bowl-shaped crater



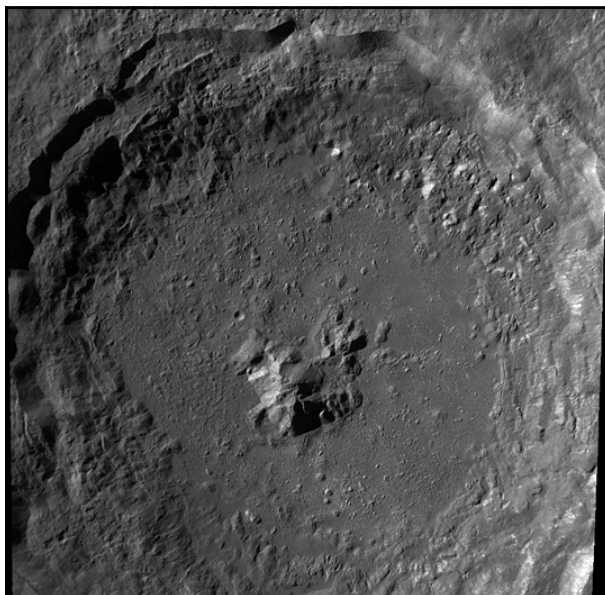
D = Durchmesser am Kraterrand, rim-to-rim diameter

H = Kratertiefe, depth

H_b = Mächtigkeit der Brekzienlinse, breccia lens thickness

→ Abrutschung/Abgleiten, slumping

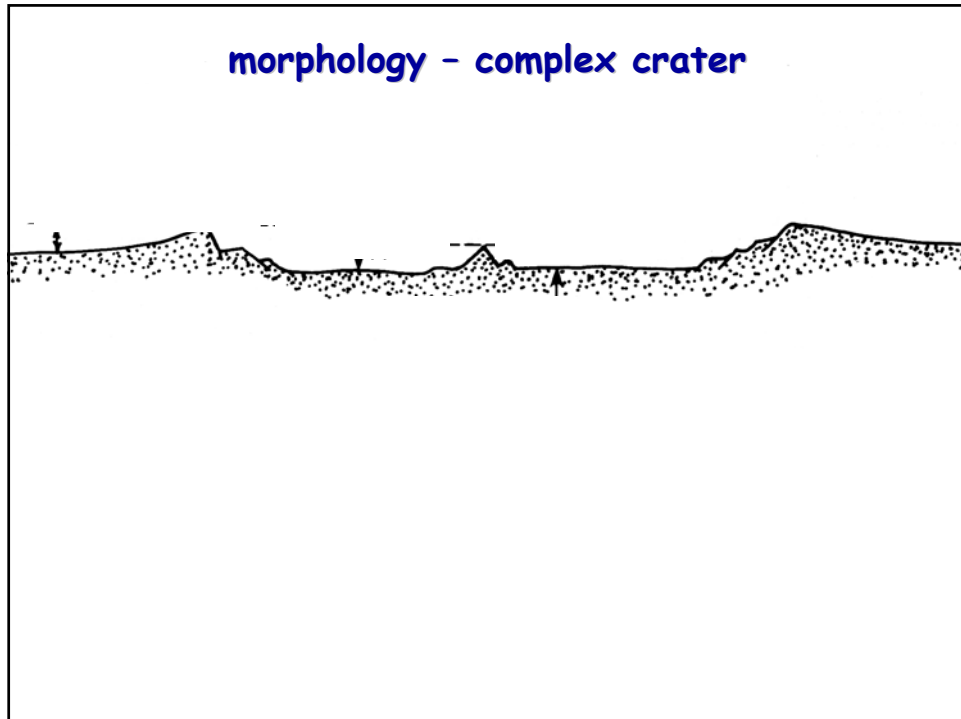
Crater morphology - complex crater



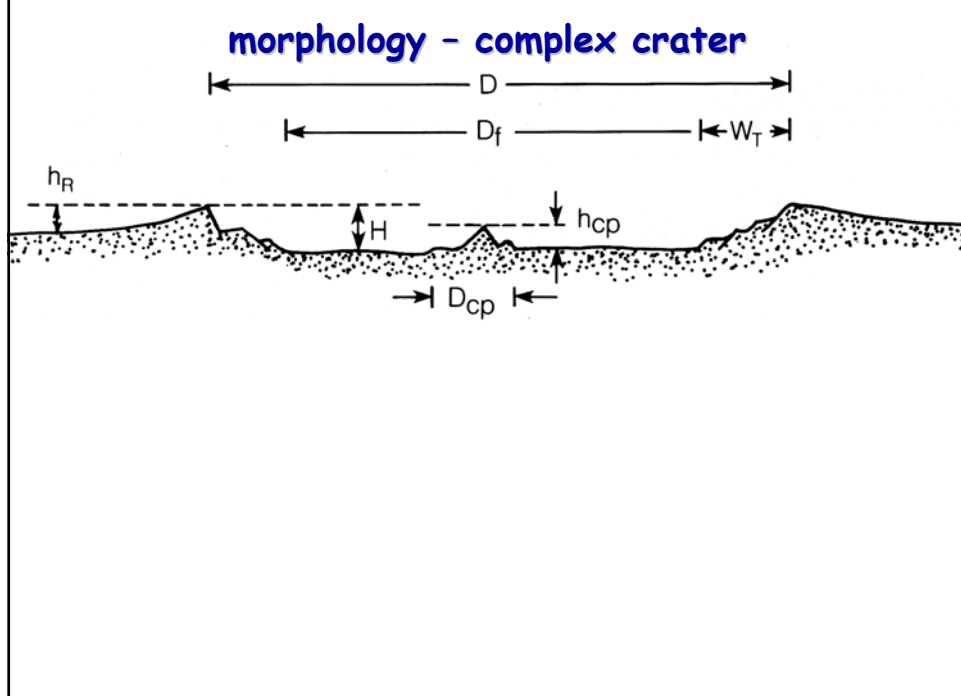
Erdmond
Tycho
 \varnothing 85 km
~ 100 Ma

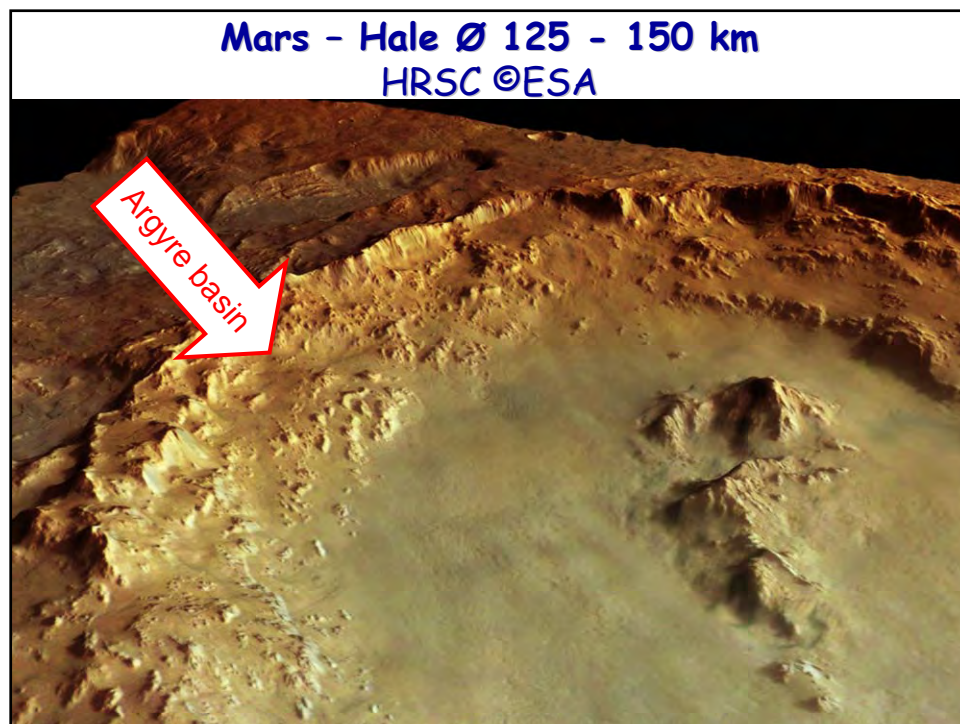
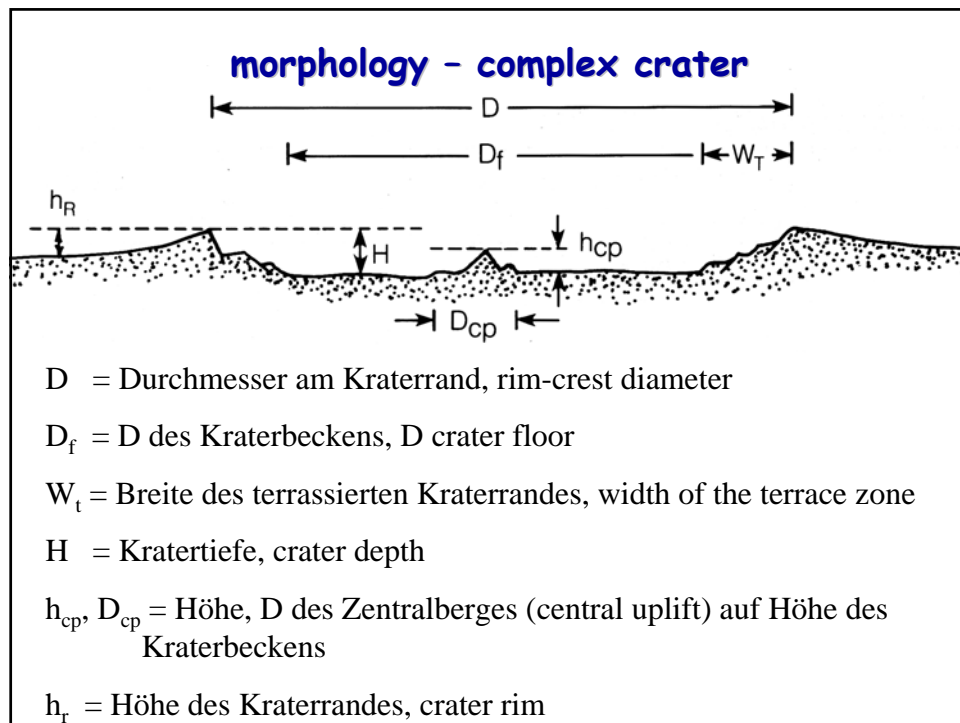
LROC WAC © NASA/Goddard/Arizona State University
http://wms.selene.jaxa.jp/selene_viewer/en/observation_mission/tc/012/tycho_20mbps.html

morphology - complex crater

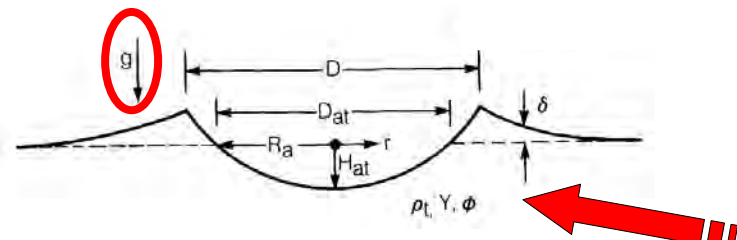


morphology - complex crater





Crater morphology



D = Durchmesser am Kraterrand, rim-to-rim diameter

D_{at} = scheinbarer D, apparent D (Erosion!!)

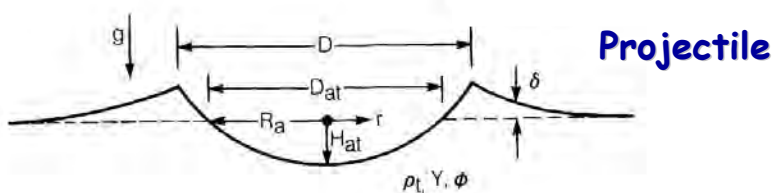
$R_a = D_{\text{at}}/2$ (r = Distanz zum Kraterzentrum)

H_{at} = Kratertiefe

δ = Mächtigkeit der Auswurfsdecke, thickness of ejecta blanket

g = „Erd“beschleunigung, acceleration of gravity

Target properties



das beaufschlagte Material, target

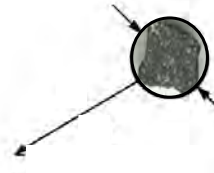
ρ_t = Dichte, density

Y = Materialfestigkeit, yield strength

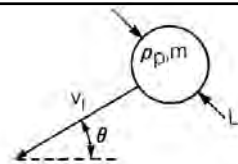
Φ = Porosität, porosity

+ Korngröße, grain size; H_2O -/Fluidgehalt, H_2O /fluid saturation;
Textur, texture

Projectile



Projectile



L = Durchmesser

V_i = Einschlagsgeschwindigkeit, impact velocity

Θ = Einschlagswinkel, angle of impact

ρ_p = Dichte, density

m = Masse

Welche grundlegenden Parameter bestimmen die Morphologie eines Impaktkraters?

Target

ρ_t = Dichte
 Y = Druckfestigkeit
 Φ = Porosität
Korngröße, Textur
Fluidgehalt

Projektil

L = Durchmesser
 V_i = Impaktgeschwindigkeit
 Θ = Einschlagswinkel
 ρ_p = Dichte
 M = Masse

Welche grundlegenden Parameter bestimmen die Morphologie eines Impaktkraters?

Target

ρ_t = Dichte
 Y = Druckfestigkeit
 Φ = Porosität
Korngröße, Textur
Fluidgehalt

Projektil

L = Durchmesser
 V_i = Impaktgeschwindigkeit
 Θ = Einschlagswinkel
 ρ_p = Dichte
 M = Masse

W = kinetische Energie

g

Wenige grundlegenden Parameter bestimmen die Morphologie eines Impaktkraters? W

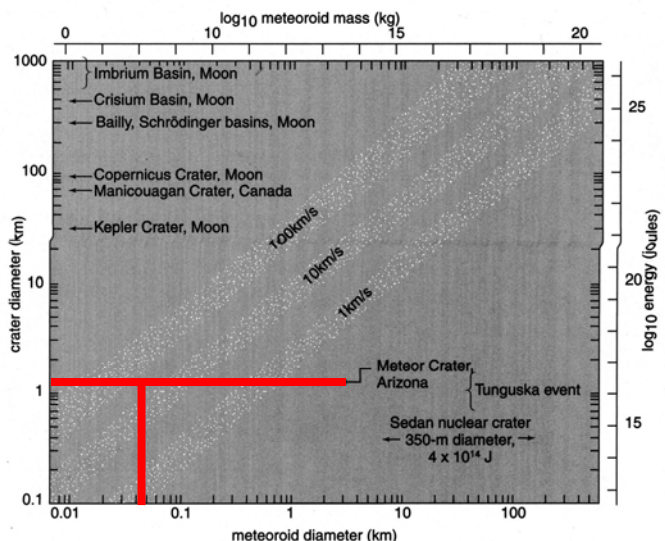
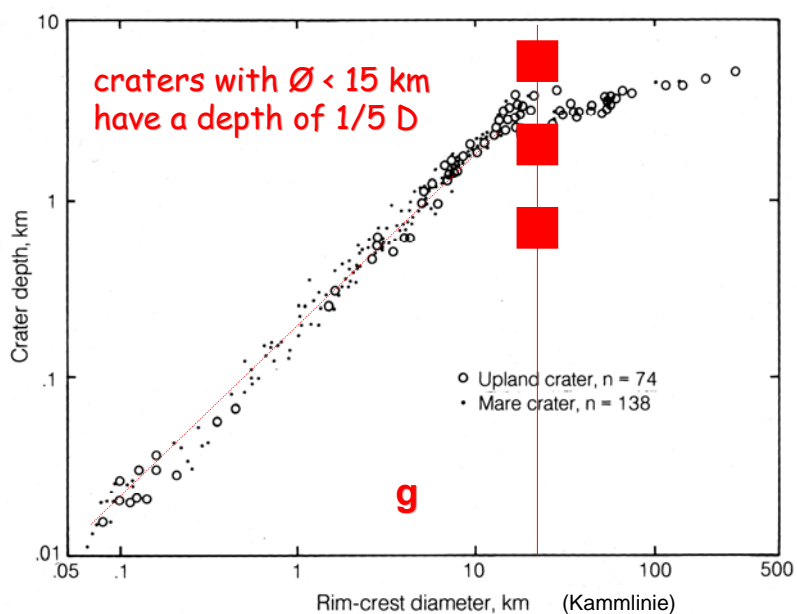
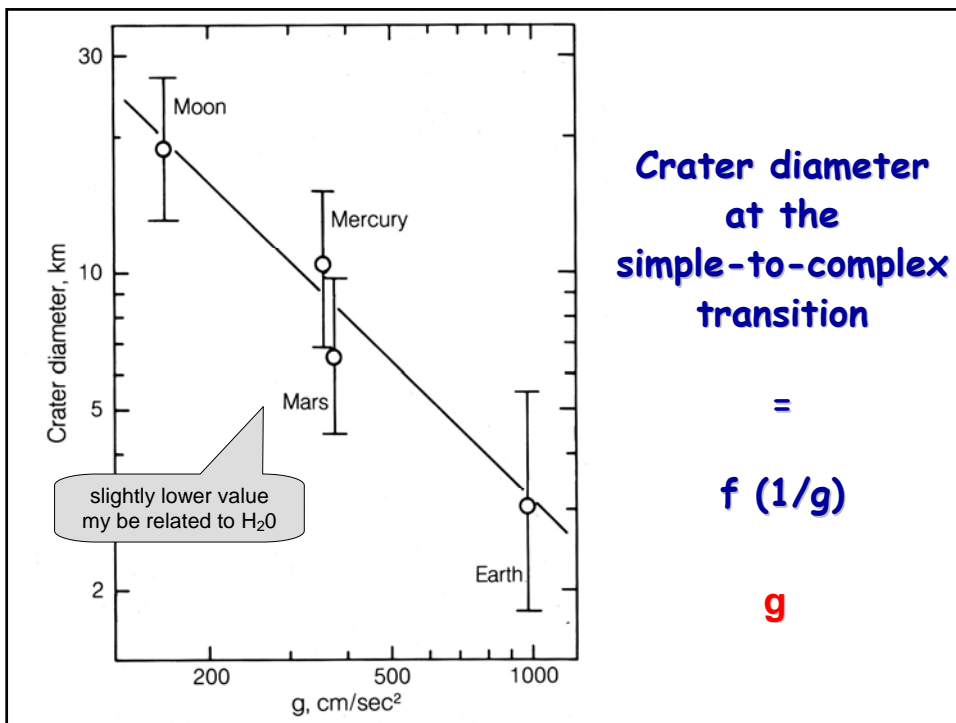


Figure 9-6. The diameter of an impact crater as a function of meteorite size for three different impact velocities. Scale at right gives the estimated energy required to make each crater. Documented craters on Earth and the moon are shown. The assumed meteorite density is 3 g/cm^3 . (Crater energy and diameter data from Baldwin, 1963; Wasson, 1974, p. 145; Vortman, 1977)

W = kinetische Energie

Moon: transition simple \Rightarrow complex impact craters





Kollisionen im Sonnensystem

- sind der grundlegende Prozess der Akkretion (d.h., Akkumulation von Materie zur Bildung unterschiedlich großer Körper);

Wir leben in der Spätphase der Akkretion!

(Kosmischer Staub, Mikrometeorite, Meteorite, Impakte)

- verursachen die Entstehung „neuer“ planetarer Körper (z.B. Asteroide, Monde);

- steuern die dynamische Entwicklung planetarer Körper (Einfluss auf Umlaufbahnen und retrograde Rotation, z.B. Venus, Neptunmond Triton);

- dominieren die geologische Entwicklung der Krusten terrestrischer planetarer Körper (vor allem im Zeitraum 4.56 → ~3.6 Ga).

DOCTOR FUN

16 Dec 2005



A Cretaceous Christmas

Copyright © 2005 David Farley, d-farley@ibiblio.org
<http://ibiblio.org/David/drfun.html>

This cartoon is made available on the Internet for personal viewing only. Opinions expressed herein are solely those of the author.